



بهینه‌سازی هسته رسی سدهای خاکی با استفاده از روش رگرسیونی

مصطفی زال نژاد، سید شهاب امامزاده*

گروه عمران، دانشکده فنی و مهندسی، دانشگاه خوارزمی، تهران، ایران.

تاریخچه داوری:

دریافت: ۱۴۰۰/۱۲/۲۰

بازنگری: ۱۴۰۱/۰۸/۱۷

پذیرش: ۱۴۰۱/۰۹/۰۸

ارائه آنلاین: ۱۴۰۱/۰۹/۲۹

كلمات کلیدی:

سدۀای خاکی

بهینه‌سازی

شکست هیدرولیکی

روش رگرسیونی

GeoStudio

خلاصه: در طراحی بهینه هسته سدهای خاکی، نوع مصالح، ابعاد و شکل آن از اهمیت زیادی برخوردار است. به طوری که با کمترین حجم مصالح بیشترین تأثیر را در کاهش میزان تراویش از بدنه سد و حفظ پایداری آن داشته باشد. هدف از انجام تحقیق حاضر توسعه مدلی برای بهینه سازی هندسه هسته سد حاجیلرچای تبریز بر اساس تلفیق معادلات حاصل از شبیه سازی تراویش، گرادیان هیدرولیکی و ضربی اطمینان پایداری با الگوریتم Simplex است. در این مطالعه دوتابع هدف یکی حجم مصالح خاکی در واحد طول سد و دیگری میزان تراویش از بدنه سد در نظر گرفته شد. سپس با تعریف ۵۰ مقطع مختلف از هسته سد خاکی و با استفاده از نتایج تحلیل عددی، روابط رگرسیونی تراویش، ضربی پایداری و گرادیان هیدرولیکی به دست آمد. جهت صحت سنجی روابط رگرسیونی، مقادیر ضربی پایداری، گرادیان هیدرولیکی و تراویش به دست آمده از مدل بهینه هسته با نتایج حاصل از مدل های نرمافزاری GeoStudio در سه مقطع مورد مقایسه قرار گرفت. این مقایسه نشان دهنده همبستگی بالا در حدود ۹۹٪ بود. نتایج مدل توسعه داده شده برای تعیین ابعاد بهینه هسته سد خاکی با اندازه های واقعی سد حاجیلرچای تبریز مورد مقایسه قرار گرفت که بیانگر کاهش حجم مصالح مورد نیاز جهت ساخت هسته سد در حدود ۱۲٪ بود که تأمین کننده پایداری لازم نیز است.

۱- مقدمه

در انتخاب هندسه هسته سد است. از این رو هنگامی که تصمیم گرفته می شود از مصالح طبیعی برای ساخت هسته سد استفاده گردد، لازم است علاوه بر خصوصیات فیزیکی و ژئوتکنیکی این مصالح در دسترس بودن آن نیز مورد توجه قرار گیرد.

معمولًا طراحی سدهای خاکی به صورت تجربی و بر اساس نظر مهندس طراح انجام می شود. استفاده از روش های مختلف بهینه سازی در مسائل سدهای خاکی در چند دهه اخیر مورد توجه محققین امر بوده است [۷ و ۶]. مطالعات مربوط به بهینه سازی هسته سد خاکی همگن اولین بار در سال ۱۹۸۵ توسط گلدین و راسکازو^۱ با استفاده از روش های آزمون عامل کامل و تحلیل عوامل انجام شد. روش مورد نظر برای سدی با ارتفاع ۷۰ متر به کار برده شده است. عواملی چون عرض سد، زاویه محور هسته نسبت به خط شاقول، وزن واحد حجم خشک مصالح هسته و زاویه شیب بالادست و پایین دست به عنوان متغیر طراحی در نظر گرفته شد بنابراین به عنوان یک نتیجه نهایی برای مسئله طرح بهینه یک سد ۷۰ متری، چهار گزینه مختلف برای منابع قرضه و شیب های متفاوت طرفین سد ارائه گردیده است [۸].

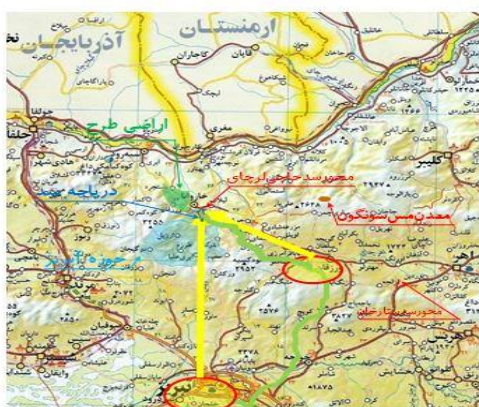
۱ Rasskazov and Goldin

از مباحث و مراحل اساسی در طراحی و اجرای سدهای خاکی بررسی پایداری و اینمی تحت شرایط مختلف است. شکست هیدرولیکی یکی از دلایل مهم تخریب سدهای خاکی است که به دلایل مختلفی از جمله ترک خوردنگی، قوس زدگی [۲ و ۱] و رگاب اتفاق می افتد. هسته سدهای خاکی عامل مهم آب بندی و کنترل تراویش از بدنه سد است. از این رو انتخاب نوع مصالح، ابعاد و شکل هسته سد از اهمیت زیادی برخوردار است [۳]. از آنجا که هسته به دلیل نیاز به نفوذ پذیری بسیار کم الزاماً باید از مصالح ریزدانه ساخته شود، به ناجار مقاومت برش آن کمتر از سایر قسمت های بدنه سد است. بنابراین از لحاظ پایداری سد، هر چه هسته آن نازک تر باشد بهتر است از طرف دیگر هر چه هسته سد ضخیم تر باشد مقاومت آن در برابر نشت آب و فرسایش داخلی بیشتر خواهد بود و خطر ایجاد شکاف یا ترک حاصل از نشست غیریکنواخت کاهش می یابد [۵ و ۴]. علاوه بر اهمیت عوامل یاد شده در تعیین هندسه هسته، امروزه ملاحظات اقتصادی یکی از مهم ترین عوامل

* نویسنده عهده دار مکاتبات: shemamzadeh@knu.ac.ir

حقوق مؤلفین به نویسندهای و حقوق ناشر به انتشارات دانشگاه امیرکبیر داده شده است. این مقاله تحت لیسانس آفرینندگی مردمی (Creative Commons License) در دسترس شما قرار گرفته است. برای جزئیات این لیسانس، از آدرس <https://www.creativecommons.org/licenses/by-nc/4.0/legalcode> دیدن فرمائید.





- ۱۳۵ کیلومتری شمال تبریز
(فاصله هوایی ۶۰ کیلومتر)
- ۵۰ کیلومتری شمال غربی ورزقان
(فاصله هوایی ۲۵ کیلومتر)
- ۲ کیلومتری پایین دست روستای قره قیه
- رودخانه حاجیلرچای

شکل ۱. موقعیت محور سد حاجیلرچای تبریز

Fig. 1. The location of Hajilerchaj dam axis in Tabriz

روش رگرسیونی به دست آمده که نشان می‌دهد نسبت به طراحی‌های معمول اقتصادی‌تر است. در برخی تحقیقات مسئله بهینه‌سازی هسته مطرح شده اما پدیده شکست هیدرولیکی در نظر گرفته نشده است. یا در برخی تحقیقات شکست هیدرولیکی در هسته سد بررسی شده اما هسته سد برای آن بهینه نشده است. در این تحقیق خلاهای موجود لحاظ شده است.

۲- مشخصات سد خاکی حاجیلرچای

سد مخزنی حاجیلرچای بر روی رودخانه‌ای به همین نام از سرشاخه‌های رودخانه ارس در مدت ۱۰ سال ساخته شده و مساحت حوضه آبریز تا محل سد 536 km^2 است که در شمال 135 km و شمال غربی 50 km ورزقان و km^3 روستای قره‌قیه قرار دارد. سد مخزنی حاجیلرچای سد خاکی با هسته ناتراوای رسی و حجم مخزن با ظرفیت $48/9$ میلیون متر مکعب است که ساخت آن از سال 1388 آغاز شد. شکل ۱ و ۲ موقعیت سد و بلندترین مقطع سد را نشان می‌دهد. مشخصات هندسه سد نیز در جدول ۱ ارائه شده است [۱۷]. در جداول ۲ و ۳ نیز خلاصه‌ای از خصوصیات مصالح بدنی در تحلیل پایداری و همچنین ضرایب نفوذپذیری و مکش Matric مصالح آورده شده است.

بسیاری از مدل‌های ژئوتکنیکی با خاک غیراشباع تحلیل می‌شوند، این در حالی است که مکانیک خاک غیراشباع به دلیل پیچیده بودن رفتار خاک در این وضعیت با ابهامات فراوانی رویه‌رو است. با توجه به اینکه در خاک غیراشباع فضای بین حفره‌ها تا حدی با آب و تا حدی با هوا پر شده است و این امر منجر به فشار آب منفذی یا مکش در خاک می‌شود، تفسیر مکش

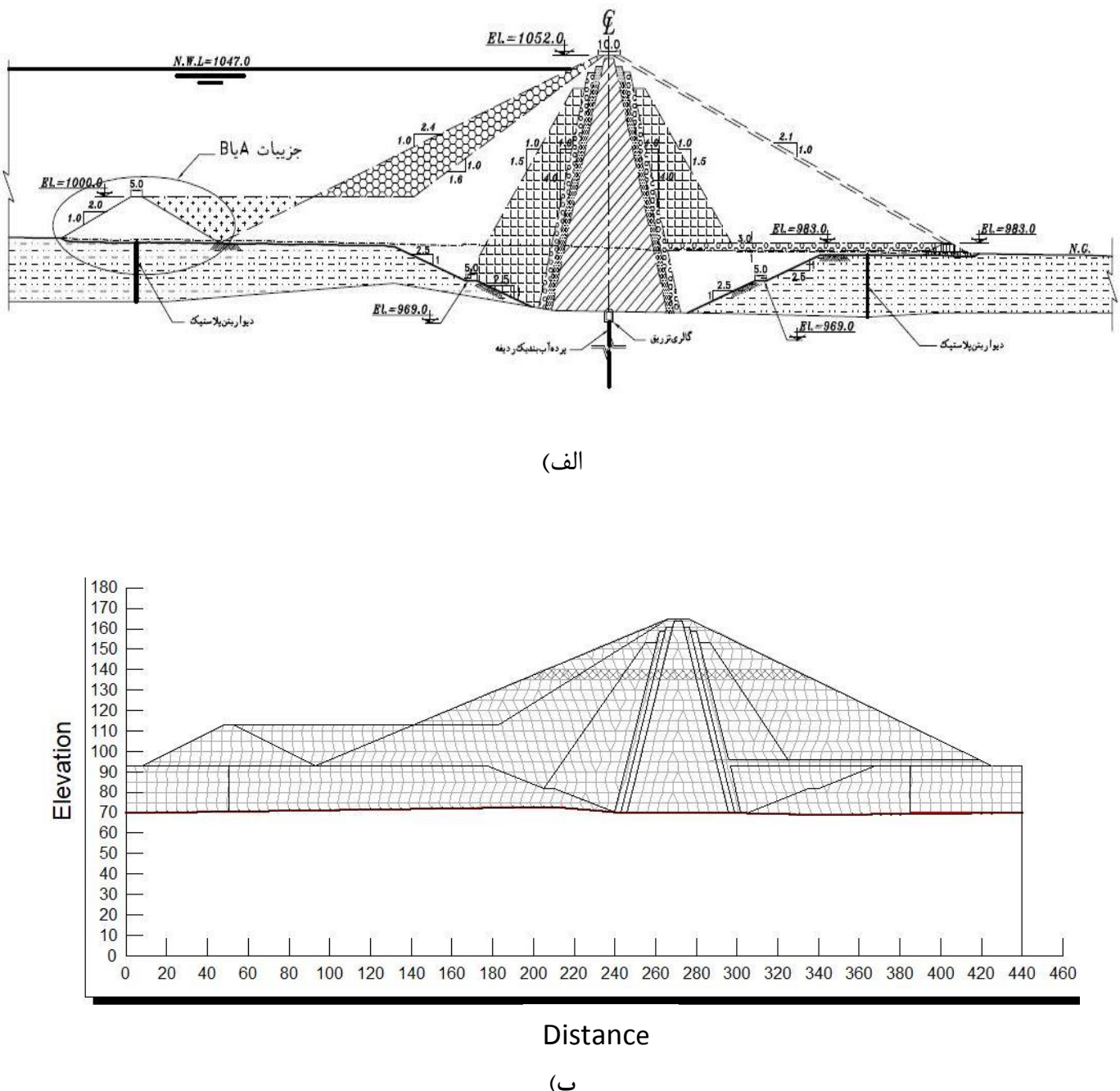
ووی^۱ برای تحلیل تراوش در پی سدهای خاکی از الگوریتم ژنتیک و الگوریتم دیگری به نام برنامه‌ریزی تکاملی^۲ (EP) استفاده کرد [۹]. آکیوز و مردان^۳ با نوشتن یک کد کامپیوتری، تراوش در سدهای خاکی را پیش‌بینی کردند [۱۰]. نظری گیزلو^۴ و زراعت پرور با در نظر گرفتن پارامترهای هندسی و فیزیکی مانند نفوذپذیری، شب بالادست و پایین دست سد تراوش در سدهای خاکی را بررسی کردند که نتایج به دست آمده نشان دهنده تأثیر قابل توجه این پارامترها در تراوش در سد خاکی بوده است [۱۱]. همچنین متصری و همکاران به بهینه‌سازی ابعاد هسته رسی سدهای خاکی با استفاده از الگوریتم ژنتیک پرداختند [۱۲]. با مطالعه پیشینه تحقیق مشخص می‌شود که در خصوص بهینه‌سازی هسته سدهای خاکی روش‌ها و نرم‌افزارهای مختلفی نیز وجود دارد که محققان در سال‌های اخیر نیز از آن‌ها استفاده نموده‌اند [۱۳-۱۵]. در این بین می‌توان علاوه بر شبیه‌سازی عددی به روش‌های مبتنی بر محاسبات نرم اشاره کرد [۱۶]. در اکثر تحقیقات با فرض ثابت بودن پارامترهای هسته و بنا بر تجرب گذشته و تحلیل شبکه جریان به تحلیل و طراحی هسته سدهای خاکی پرداخته شده و مشکلات داخلی مانند شکست هیدرولیکی در شرایط مختلف نظر گرفته نمی‌شوند. در تحقیق حاضر ابعاد هسته، مایل یا قائم بودن هسته و جنس هسته رسی به عنوان متغیرهایی در طراحی در نظر گرفته شده و با تعریف قیود شکست هیدرولیکی یک مسئله بهینه‌سازی تعریف شده است. نتایج طرح بهینه به

1 Wei

2 Evolutionary Programming (EP)

3 Akyuz and Merdun

4 Gizlu



شکل ۲. a) مدل واقعی مقطع-عرضی بزرگترین مقطع سد حاجیلرچای شامل نمایش زون‌های مختلف بدن و پی [۱۷].
b) مدل اجزای محدود مشبندی بدن و بستر سد توسط المان‌های مثلثی سه و چهار گرهی

Fig. 2. a) The real cross-sectional model of the largest section of the Hajilerchay dam, including the display of different zones of the body and foundation [17], **b)** Finite element model of meshing the body and bed of the dam by three- and four-node triangular elements

جدول ۱. مشخصات هندسی سد خاکی حاجیلرچای

Table 1. Geometric characteristics of Hajilerchai earth dam

۲۶۵		طول تاج (m)
۱۰		عرض تاج (m)
۷۱	از بستر رودخانه	ارتفاع سد (m)
۹۵	از پی	
۴		عرض فوقانی هسته (m)
۵۰		عرض هسته روی پی (m)
۱ : ۲/۴	بالادرست	شیب وجوه سد
۱ : ۲/۱	پایین دست	
۱ : ۴	بالادرست	شیب وجوه هسته
۱ : ۴	پایین دست	

جدول ۲. خصوصیات مصالح بدنه سد در تحلیل پایداری

Table 2. Properties of dam body materials in stability analysis

پی	فیلتر	هسته	پوسته	پارامتر
۲۴	۱۸	۲۲/۲	۱۸	وزن مخصوص (kN/m^3)
۱۰۰۰	۱	۱۵	۳	چسبندگی (kN/m^2)
۳۵	۳۴	۳۰	۳۶	زاویه اصطکاک داخلی
۰/۲۵	۰/۲۸	۰/۵	۰/۳	درصد رطوبت حجمی اشباع (Saturated Wc)
۱	۰	۱۵	۱	درصد رطوبت باقیمانده (Residual water content)

جدول ۳. ضریب نفوذپذیری و مکش Matric مصالح بدن

Table 3. Matric permeability and suction coefficient of body materials

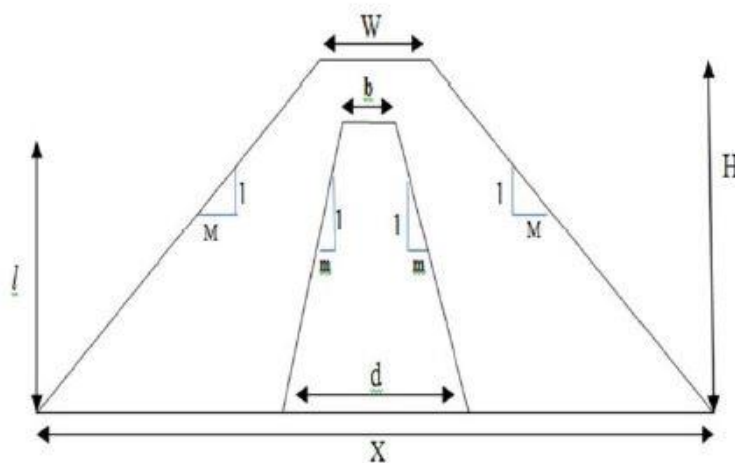
فونداسیون	زهکش	هسته	پوسته	(Matric) مکش	K_x (m/s)
10^{-8}	$0/0001$	10^{-7}	10^{-5}	$0/01$	
8×10^{-9}	8×10^{-5}	8×10^{-8}	8×10^{-6}	$0/172$	
5×10^{-10}	5×10^{-6}	5×10^{-9}	5×10^{-7}	۳۱	
10^{-11}	10^{-7}	10^{-10}	10^{-8}	۵۰۰	

هیدرولیکی و ضریب اطمینان پایداری شیروانی‌ها در نظر گرفته شده است. برای معرفی این قیود به برنامه ۵۰ مقطع سد با ابعاد فرضی بر روی یک بستر نفوذنپذیر با استفاده از بسته نرمافزاری GeoStudio که از جمله برنامه‌های ژئوتکنیکی مبتنی بر المان محدود بوده، استفاده گردیده است. برنامه‌های تغییرات ابعاد هندسه سد در جداول‌های ۴ و ۵ ارائه شده است. در محدوده تغییرات ابعاد هندسه سد در جداول‌های ۴ و ۵ ارائه شده است. در این شکل ۳ نمونه‌ای از سدهای مدل شده در نرمافزار ارائه گردیده است. در این شکل، H ارتفاع سد، A تراز آب، X عرض سد بر روی پی، d عرض هسته بر روی پی، b عرض تاج هسته، W عرض تاج سد، M شبیب پوسته و m شبیب هسته است. تجزیه و تحلیل داده‌ها با نرمافزار آماری SPSS انجام می‌شود. این برنامه قادر به انجام تحلیل‌های آماری و ساخت مدل رگرسیونی است. به منظور معرفی قیود مسئله به برنامه، مدل‌های ساده به روش رگرسیون خطی تهیه شده و محدوده مجاز برای هر کدام از قیود تعریف می‌گردد. برای توسعه مدل بهینه‌سازی ابعاد هسته رسانی سد خاکی نیاز به تعیین تعدادی قید وجود دارد که سعی شده است در طراحی، قیودی در نظر گرفته شوند که نتایج به دست آمده‌ی سد بهینه تمام شرایط لازم یک سد واقعی را داشته باشد و بتواند به عنوان یک طرح اولیه و کامل مورد استفاده عملی قرار گیرد. بدین منظور قیودی از قبیل قید پایداری، گرادیان هیدرولیکی و تراوش در نظر گرفته شده‌اند.

خاک برای درک رفتار خاک‌های غیراشباع ضروری است. مکش خاک در تمامی خاک‌هایی که در بالای سطح آزاد نشت^۱ قرار گرفته‌اند، یافت می‌شود و از مهم‌ترین پارامترهایی است که شرایط فشار رطوبت خاک‌های غیراشباع را توصیف می‌کند. در خاک‌های غیراشباع، حجمی از آب که در حفرات خاک ذخیره می‌شود به مکش Matric وابسته است. نیرویی که آب را به خاک جذب می‌کند اصطلاحاً نیروی مکش رطوبتی خاک نام دارد. هر چه خاک، آب بیشتر داشته باشد، نیروی مکش آن کمتر است. چنانچه خاکی از آب اشباع شده باشد این نیرو به صفر می‌رسد و هر چه خاک خشک‌تر شود، این نیرو افزایش می‌یابد. تحت نیروی مکش مساوی، خاک‌های رسی به علت نفوذنپذیری کم در قیاس با خاک‌های درشت‌دانه و به خصوص شن مقدار بسیار زیادتری آب در خود نگه می‌دارند، بنابراین تحت درصد برابری از رطوبت، خاک شنی آب را با نیروی مکش بسیار کمتری در قیاس با خاک رسی در خود نگه می‌دارد. در جدول ۳ ضرایب نفوذنپذیری و مکش Matric مصالح آورده شده است.

۳- تعریف مسئله بهینه‌سازی

در مطالعه حاضر با توجه به کاربردهای روش Simplex (حل گر مستقیم) [۱۸ و ۱۹] در زمینه علوم آب و اهمیت دستیابی به یک هندسه بهینه برای هسته سد خاکی، قیدهایی مانند تراوش از بدن، گرادیان



شکل ۳. نمونه‌ای از مقطع مدل شده در نرم‌افزار

Fig. 3. An example of a section modeled in the software

جدول ۴. محدوده تغییرات پارامترهای هندسی

Table 4. The range of changes in geometric parameters

حد بالا	حد پایین	پارامتر
۹۴	۹۴	ارتفاع هسته (m)
۶	۲	عرض فوقانی هسته (m)
۸۶	۴۰,۵	عرض هسته روی پی (m)
۱ : ۵,۱	۱ : ۲,۳	شیب بالادست هسته
۱ : ۵,۱	۱ : ۲,۳	شیب پایین دست هسته
۱ : ۲,۴	۱ : ۲,۴	شیب بالادست پوسته
۱ : ۲,۱	۱ : ۲,۱	شیب پایین دست پوسته

جدول ۵. مشخصات ۵۰ مقطع فرضی تعریف شده در مدل سازی

Table 5. Specifications of 50 hypothetical sections defined in the modeling

L	d	b	Model	L	d	b	Model
95	54	4	26	95	26	2	1
95	54.5	4.5	27	95	28	3	2
95	55	5	28	95	29	3	3
95	56	6	29	95	31	3	4
95	59	4	30	95	38	2	5
95	59.5	4.5	31	95	40.5	2	6
95	60	5	32	95	40.5	3	7
95	61	6	33	95	40.5	3.5	8
95	64	4	34	95	42.5	2	9
95	64.5	4.5	35	95	41.5	3.5	10
95	65	5	36	95	42.5	3	11
95	66	6	37	95	42	4	12
95	69	4	38	95	44.5	2	13
95	69.5	4.5	39	95	43.5	3.5	14
95	70	5	40	95	44.5	3	15
95	71	6	41	95	44	4	16
95	74	4	42	95	46.5	2	17
95	74.5	4.5	43	95	45.5	3.5	18
95	75	5	44	95	46.5	3	19
95	76	6	45	95	46	4	20
95	78	6	46	95	47.5	3.5	21
95	80	6	47	95	48.5	3	22
95	82	6	48	95	48	4	23
95	84	6	49	95	49.5	3.5	24
95	86	6	50	95	50	4	25

که می‌توان به آسانی و بدون استفاده از شبکه جریان مقدار تراوش از بدن سد را محاسبه نمود. عوامل مؤثر در تهیه مدل، ارتفاع آب بالادست، عرض هسته روی پی، ارتفاع سد و ضریب هدایت هیدرولیکی مصالح هسته در نظر گرفته شده است.

برای شبکه‌بندی مدل می‌توان از دو نوع شبکه‌بندی ساختاریافته و غیرساختاریافته استفاده کرد. در تحقیق حاضر از شبکه‌بندی غیرساختاریافته

۴- مشخصات مدل اجزای محدود سد خاکی

برای تحلیل دقیق جریان در بدن سدهای خاکی و برآورد میزان تراوش در آن از شبکه جریان استفاده می‌شود. به طور معمول تهیه و ترسیم شبکه جریان یک پروسه وقت‌گیر و پرهزینه‌ای را شامل شده و در صورت هرگونه تغییر در مقطع و مصالح سد خاکی این پروسه باستی تکرار گردد. لذا در این مطالعه برای تخمین اولیه میزان تراوش یک مدل ریاضی تهیه شده است

پوسته سد به صورت الاستیک مدل شده و هسته رسی سد با استفاده از مدل رفتاری مورکولمب، به صورت الاستیک-پلاستیک کامل مدل گردیده است.

۵- روابط رگرسیونی

۵-۱- رابطه رگرسیونی تراواش

به منظور محاسبه تراواش از بدن سدهای خاکی و معرفی آن به عنوان قید در طرح مسئله بهینه‌سازی از یک مدل رگرسیونی استفاده شده است. این مدل بر اساس مقادیر تراواش محاسبه شده از ۵۰ مقطع سد با هندسه فرضی مختلف توسط نرم‌افزار SEEP/W با حل عددی معادله تراواش لاپلاس به دست آمده است. در مدل اجزای محدود از المان‌های مستطیلی چهار گرهی و مثلثی سه گرهی استفاده شده است. شرایط مرزی اول مربوط به نقاط بالادست سد است که زیر بار آب قرار گرفته‌اند، به این نقاط مقادیری از بار کلی برابر با ارتفاع آب پشت سد تعلق گرفت و شرایط مرزی دوم مربوط به نقاط پایین دست سد است که به این نقاط بار آبی صفر تعلق می‌گیرد. داده‌های تولید شده با نرم‌افزار SPSS تجزیه و تحلیل می‌شوند. رابطه (۱) دبی عبوری در واحد طول سد را نشان می‌دهد.

$$\frac{q}{kl} = -21.933 \frac{b}{H} + 2.234 \quad (1)$$

که q دبی عبوری در واحد طول سد ($m^3/s.m$), k ضریب نفوذپذیری هسته (m/s), l ارتفاع آب مخزن (m), H ارتفاع سد (m) و b عرض هسته در قسمت فوقانی (m) است.

۵-۲- رابطه رگرسیونی ضریب پایداری شیروانی

یکی از عوامل مهم که در طراحی سدهای خاکی باید مورد بررسی قرار گیرد پایداری شیروانی سدهای خاکی در شرایط بحرانی است. برای محاسبه ضریب اطمینان پایداری، پارامترهای (C و Φ) مصالح خاکی، ارتفاع سد، عرض هسته روی پی، عرض تاج هسته، عرض سد روی پی و شبیب پایین دست و بالادست در نظر گرفته شده است. در اینجا پایداری سدهای خاکی تحت شرایط تراواش دائم با استفاده از روش تعادل حدی مورد بررسی قرار گرفته است.

به منظور محاسبه ضریب پایداری شیروانی‌های سد و معرفی آن به عنوان قید در طرح بهینه‌سازی از مدل رگرسیونی استفاده شده است. مدل موجود بر اساس ضرایب اطمینان محاسبه شده برای ۵۰ مقطع سد توسط

با المان‌های چهار ضلعی و مثلثی استفاده شده است. در این حالت ابتدا المان‌های چهار ضلعی توسط نرم‌افزار ایجاد می‌شود سپس هر جا که ضرورت داشته باشد نرم‌افزار از المان‌بندی مثلثی برای دقت بیشتر استفاده می‌کند. این نوع المان‌بندی برای نواحی مختلف برای هر نوع شکلی قابل استفاده است. اندازه المان‌ها ۲ متر بوده و مرتبه انتگرال‌گیری برای المان‌های چهار ضلعی و مثلثی به ترتیب ۹ و ۳ است. البته باید به این نکته توجه داشت که برای المان‌های چهار ضلعی با گره‌های ثانویه می‌توان از چهار نقطه نیز برای مرتبه انتگرال‌گیری استفاده نمود. عموماً استفاده از چهار نقطه نیز نتایج قابل قبولی ارائه می‌دهد. استفاده از چهار نکته برای مرتبه انتگرال‌گیری، به صورت قابل توجهی میزان محاسبات و به تبع آن مدت زمان تحلیل را کاهش می‌دهد. و به همین ترتیب استفاده از انتگرال‌گیری سه نقطه‌ای برای المان‌های مثلثی حتی اگر از گره‌های ثانویه استفاده نشود، می‌تواند موجب بهبود نتایج حاصل از نرم‌افزار شود. ذکر این نکته ضروری است که انتگرال‌گیری یک نقطه‌ای برای المان‌های مثلثی، عملکرد مناسبی برای المان‌ها به خصوص زمانی که المان‌ها در نواحی غیراشباع واقع شده‌اند، ارائه نداده و لذا پیشنهاد نمی‌شود. شایان ذکر است که جهت همگرایی المان‌بندی، از گره‌های ثانویه نیز استفاده شده است. این کار باعث می‌شود که گره‌های ثانویه در وسط هر یک از لبه‌های المان‌های مختلف اعمال شود. همگرایی المان‌بندی زمانی اتفاق می‌افتد که با کاهش هر چه بیشتر اندازه المان‌ها دیگر تغییرات محسوسی در جواب مسئله مشاهده نشود.

در تحلیل‌های مربوط به تنش و کرنش ($Sigma/w$), از مهم‌ترین شرایط مرزی اعمال شده به مدل می‌توان به شرط مرزی گیرداری در کف سد اشاره کرد. در واقع اعمال شرط مرزی مذکور به کف سد باعث می‌شود که کف سد در راستای قائم و افقی جایه‌جایی نداشته باشد. این نوع شرط مرزی از نوع جایه‌جایی است که مؤلفه‌های قائم و افقی آن برای کف سد صفر در نظر گرفته شده است. با این حال در این تحقیق با مدل‌سازی پی سد، گیرداری کف سد به سختی پی وابسته است. شرط مرزی دیگر مربوط به شرط مرزی بار مخزن است. این نوع شرط مرزی از نوع تنش بوده و مقدار آن ثابت و برابر با ارتفاع نرمال آب در مخزن سد در نظر گرفته شده است. در تحلیل‌های مربوط به تراواش ($Seep/w$) نیز از شرایط مرزی هد بالادست جهت اعمال بار مخزن به مدل، فشار صفر¹، سطح مستعد تراواش² و مقطع جریان³ جهت تخمین دبی عبوری از یک مقطع مشخص استفاده شده است.

1 Zero pressure

2 Potential seepage face

3 Flux Section

شیب هیدرولیکی مقداری خطا ایجاد کند ولی به علت اینکه محاسبه طول واقعی خط نشت کار مشکلی بوده و به راحتی قابل محاسبه نیست می‌توان از مقدار خطای ایجاد شده که با توجه به بررسی‌های انجام شده مقدار جزئی است چشم‌پوشی کرد. رابطه (۳)تابع گرادیان هیدرولیکی را نشان می‌دهد:

$$i = 2.42 + 0.97 \frac{b}{l} - 2.08 \frac{d}{l} \quad (3)$$

که i گرادیان هیدرولیکی، b عرض هسته در قسمت فوقانی (m)، d عرض هسته روی پی (m) و l ارتفاع آب مخزن (m) است.

۶- بهینه‌سازی هسته رسی

بدنه سدهای خاکی به علت نوع مصالحی که در ساخت آن‌ها استفاده می‌شود و نیز به منظور کنترل تراوش، حفظ پایداری و جلوگیری از نشست و ترک از نواحی مختلفی تشکیل شده‌اند. انتخاب هندسه و مصالح هر ناحیه باید به گونه‌ای باشد که علاوه بر رعایت ملاحظات طراحی، از نظر ملاحظات اقتصادی نیز قبل توجیه باشد. برای جلوگیری از تراوش آب از داخل بدنه سدهای خاکی و یا کاهش مقدار آن، در صورت در دسترس بودن مصالح مناسب، عموماً از یک هسته متشکل از مصالح با نفوذپذیری بسیار کم استفاده می‌شود که ممکن است با اشکال و هندسه مختلفی در بدنه سد قرار بگیرند [۲۰]. گاهی در عین تعیین هندسه مناسب برای هسته، بر اساس عوامل مؤثر و مهم در طراحی سد، تهیه مصالح مناسب برای این هسته با مشکل مواجه شده و یا تهیه این مصالح از لحاظ ملاحظات اقتصادی مقرن به صرفه نخواهد بود. همچنین دلایل دیگری نیز ممکن است وجود داشته باشد که ایجاب نمایند مصالح کمتری مورد استفاده قرار گیرد. از این رو تهیه هندسه مناسب و بهینه‌ای که علاوه بر تأمین محدودیتها و الزامات طراحی و نیز در برداشتن خصوصیات لازم فیزیکی و ژئوتکنیکی مصالح، توجیه اقتصادی نیز داشته باشد از اهمیت بسزایی برخوردار است [۲۱].

متغیرهای طراحی

به طور کلی در طراحی مقطع سدهای خاکی دو نوع متغیر وجود دارد. اول، متغیرهای محیطی که وابسته به محل اجرای طرح می‌باشند مانند منابع قرضه و خصوصیات مصالح که در اینجا به صورت متغیرهای پارامتری در برنامه تعریف شده‌اند و دیگری متغیرهای هندسی مقطع سد که بعضی

نرم‌افزار SLOPE/W که برخلاف سایر بخش‌های بسته نرم‌افزاری GeoStudio از روش اجزا محدود استفاده نمی‌کند شامل مجموعه‌ای از روش‌های ترسیمی برای آنالیز پایداری شیب‌های خاکی است. این فرآیند از طریق روش‌های تعادل حدی انجام می‌شود. نرم‌افزار W همچنین قابلیت تحلیل پایداری با اکثر روش‌های مربوط به تعادل حدی از جمله روش مورگن اشنرن و پرایس و بیشاپ را دارد. برای تحلیل پایداری با نرم‌افزار مذکور از المان‌های مستطیلی چهار گرهی و مثلثی سه گرهی استفاده شده است. سپس بار آبی بالادست و پایین‌دست به عنوان شرایط مزدی تعیین گردید، تهیه شده است. رابطه (۲) ضریب پایداری سد SF از تجزیه تحلیل بر روی داده‌های تولید شده با نرم‌افزار SPSS طبق رابطه (۲) به دست می‌آید.

$$SF = 1.975 - 0.169 \frac{d}{x} + 0.003 \frac{b}{y} \quad (2)$$

که d عرض هسته روی پی (m)، x عرض سد (m)، y : تاج سد (m) است. یکی از موارد دیگر که در حین طراحی سدهای خاکی مورد نظر طراحان و متخصصین امر قرار می‌گیرد مسئله گرادیان هیدرولیکی جریان عبوری از بدنه سد است. چنانچه گرادیان هیدرولیکی از مقدار گرادیان هیدرولیکی بحرانی بیشتر شود نیروی بین ذرات خاک کاهش یافته و شروع به حرکت می‌کند و در واقع ذرات خاک مانند مایعات عمل می‌کند، به تدریج سرعت حرکت آب بیشتر شده و ذرات بیشتری شسته و به خارج حمل می‌شوند که در نتیجه تونل ایجاد شده بزرگ و بزرگ‌تر شده، فرسایش داخلی گسترش یافته و در نهایت سبب تخربی سد خاکی می‌گردد. در اینجا برای تخمین گرادیان هیدرولیکی سدهای خاکی با هسته مرکزی یک مدل ریاضی جدید تهیه شده است.

۵- رابطه رگرسیونی گرادیان هیدرولیکی
گرادیان هیدرولیکی ۵۰ مقطع سد توسط نرم‌افزار SEEP/W محاسبه شده و داده‌های تولید شده با استفاده از نرم‌افزار SPSS تجزیه و تحلیل شدن. برای تعیین رابطه رگرسیونی دو فرض وجود دارد: بر اساس فرض اول محاسبات بر روی مدل هسته به عنوان یک سد خاکی همگن انجام می‌شود. و در فرض دوم خط نشت به صورت مستقیم در نظر گرفته شده است. هر چند که در نظر گرفتن فرض دوم ممکن است در محاسبه طول خط نشت و

$1 \leq i \leq 3$

۷- نتایج و بحث

در این بخش از تحقیق، ابتدا مدل‌های رگرسیونی جدید با استفاده از نرم‌افزار SPSS برای محاسبه متغیرهای طراحی شامل: تراوش (معادله ۱)، ضریب اطمینان پایداری (معادله ۲) و گرادیان هیدرولیکی (معادله ۳) تهیه گردید. پس از تعیین متغیرهای طراحی و همچنین توابع هدف و قیود، بهینه‌سازی ابعاد هسته رسی سدهای خاکی در محیط Simplex انجام گردید. به منظور اجرای برنامه از مشخصات مصالح بدن سد و یک سری از پارامترهای معلوم مانند ارتفاع و عرض تاج هسته سد استفاده شد. نتایج به دست آمده از اجرای برنامه بهینه‌سازی ابعاد هسته رسی این سد در مقایسه با ابعاد واقعی هسته رسی آن در جدول ۶ آمده است.

برای نمونه مقادیر واقعی عرض فوقانی هسته از ۴ متر به ۳۵ متر و عرض هسته روی پی از ۵۰ متر به ۴۴ متر در مدل بهینه‌سازی کاهش داشته است. که این واقعیت نشان دهنده کاهش حجم مصالح مورد نیاز جهت ساخت هسته سد در حدود ۱۲٪ است.

۸- صحبت‌سنگی و بررسی دقت مدل

به منظور صحبت‌سنگی نتایج حاصل از تحقیق، ابتدا از بین ۵۰ مقطع فرضی مختلف سه مقطع به صورت تصادفی (با ابعاد بزرگتر، کوچک‌تر و برابر نمونه اصلی) انتخاب گردیده است. سپس مقادیر ضریب اطمینان پایداری، تراوش و گرادیان هیدرولیکی برای هر سه مقطع مذکور یک بار در فضای SPSS و یک بار دیگر در محیط نرم‌افزار GeoStudio مدل‌سازی و محاسبه گردیده است (جدول ۷). محاسبات در فضای SPSS منجر به تولید معادلات رگرسیونی شده و جهت مدل‌سازی مقاطع در نرم‌افزار GeoStudio از مشخصات مصالح و یک سری پارامترهای معلوم مانند ارتفاع هسته و عرض تاج هسته سد استفاده گردیده است. نهایتاً ضریب همبستگی پیرسون بین داده‌های به دست آمده از اجرای برنامه SPSS و اجرای مدل‌های نرم‌افزاری GeoStudio محاسبه می‌گردد. همان‌طور که در جدول ۸ مشاهده می‌شود مقادیر محاسبه شده از اجرای برنامه و اجرای مدل‌های نرم‌افزاری GeoStudio برای مقاطع مختلف، دارای همبستگی بالا و در حدود ۹۹ درصد است و اختلاف قابل ملاحظه‌ای بین آن‌ها وجود ندارد.

از آن‌ها مانند زاویه محور هسته ثابت بوده و بعضی دیگر مانند ارتفاع و عرض تاج سد به عنوان متغیرهای پارامتری تعریف شده و تعدادی دیگر به عنوان متغیرهای طراحی در تابع هدف ادغام شده‌اند. بردار متغیرهای طراحی X_1, X_2, X_3 شامل $(X: \{X_1, X_2, X_3\})$ (عرض تاج هسته)، (X_1) (عرض قاعده هسته روی پی) و (X_3) (عرض سد روی پی) هستند.

توابع هدف

در این مطالعه دو تابع هدف به شرح زیر مطرح است.

۱- حجم مصالح خاکی در واحد طول سد

برای حداقل کردن حجم مصالح هسته و تأمین پایداری آن با توجه به هندسه سد می‌توان از رابطه (۵) استفاده نمود. با توجه به اینکه قید پایداری تابعی از پارامترهای بدن سد است، بنابراین علاوه بر بهینه نمودن ابعاد هسته، شبیب مناسب پایداری به دست می‌آید.

$$F = \frac{1}{2}(X_3 + W)H - \frac{1}{2}(X_2 + X_1)H \quad (4)$$

که در آن F حجم مصالح خاکی (m^3/m)، H ارتفاع سد (m) و W عرض تاج سد (m) است.

۲- میزان تراوش از بدن سد

برای حداقل نمودن میزان تراوش از بدن سد معادله (۱)، به صورت معادله (۵) به عنوان یک تابع هدف وارد مسئله شده است.

$$\frac{q}{kl} = -21.933 \frac{b}{H} + 2.234 \quad (5)$$

قيود طراحی

۱- قید ضریب اطمینان پایداری در شرایط تراوش پایدار که حداقل مقدار آن برای پایداری استاتیکی سدهای خاکی ۱/۵ است [۲۲].

$$SF \geq 1.5$$

۲- قید گرادیان هیدرولیکی که مقدار آن باید کمتر از مقدار بحرانی باشد.

$$i \leq i_{cr}$$

جدول ۶. مقایسه نتایج بهینه به دست آمده برای سد حاجیلرچای با ابعاد واقعی آن

Table 6. Comparing the optimal results obtained for the Hajilerchai dam with its actual dimensions

ابعاد بھینه هسته رسی	ابعاد واقعی هسته رسی	
۳/۵	۴	عرض فوقانی هسته (متر)
۴/۴	۵/۰	عرض هسته روی پی (متر)
۱ : ۴/۶	۱ : ۴	شیب وجوده هسته
۲۲۵۶	۲۵۶۵	حجم مصالح هسته (m^3/m)

جدول ۷. مقادیر پارامترهای ضریب اطمینان پایداری، گرادیان هیدرولیکی و میزان تراوش محاسبه شده از برنامه SPSS و مدل‌های نرم‌افزاری GeoStudio برای چند مقطع سد خاکی حاجیلرچای

Table 7. The values of parameters of reliability coefficient of stability, hydraulic gradient, and seepage rate were calculated from SPSS program and GeoStudio software models for several sections of Hajilrechay earth dam

ضریب پایداری	تراوش	گرادیان هیدرولیکی	مدل	عرض هسته روی پی	عرض فوقانی هسته
$m^3/year.m$				$d(m)$	$b(m)$
۱/۹۷	۵/۰۴	۱/۵۸	GeoStudio	۳/۸	۲
۱/۹۶	۵/۲۷	۱/۵۶	SPSS		
۱/۹۶	۳/۹۸	۱/۲	GeoStudio	۵/۰	۴
۱/۹۵	۳/۹۱	۱/۳	SPSS		
۱/۹۴	۲/۷۴	۰/۸	GeoStudio	۷/۵	۵
۱/۹۵	۳/۲۲	۰/۷۳	SPSS		
$FS \geq ۱/۵$		$۱ \leq i \leq ۳$			

جدول ۸. ضریب همبستگی پیرسون بین داده‌های محاسبه شده از اجرای مدل GeoStudio و SPSS

Table 8. Pearson's correlation coefficient between the data calculated from the implementation of SPSS and GeoStudio model

Geostudio	SPSS	مدل
-0.991	1	SPSS
1	-0.991	GeoStudio

annealing (SA) algorithm, Amirkabir Journal of Science and Research. 47(1), (2015) 119-130.

[4] S. Poudel, S.J. Abby. and S. Ngambi, Mechanism of hydraulic fracturing in cohesive zone of embankment dam cores – A Review, International of Civil Engineering and Technology (IJCET). 8(7), (2017).

[5] T. Sadettin, Estimation of Hydraulic Fracturing Potential for Clay – Core Rock Fill Dams, Dumluipinar University. S, T. (2017).

[6] SM. Ferdowsi, S. Hoseini, , M. Farzin, S, Faramarzpour, F. Mousavi . Shape Optimization of gravity dam using a nature – inspired approach, Journal of Soft Computing in Civil Engineering. (2020).

[7] A. Rezaian, M, Davoodi, M.k, Jafari . Determination of optimum cross – section of earth dams using ant colony optimization algorithm, Sharif University of Technology. Scientia Iranica. (2018).

[8] A.L. Goldin, L.N. Rasskasove, Design of earth dams, A.A. Balkema, Netherlands. (1992).

[9] G. Wei, Seepage Parameters Back Analysis for Dam Foundation Based on Bionic Algorithms, Proceeding of the International Conference on Dam Engineering, (2004). 369-376.

[10] A. Akyuz, H. Merdun, Seepage through an earth dam on impervious based with Hele Shaw, viscous liquid Physical Madel. EJGE. (2003).

[11] A. Nazari Giglou, A. Zeraatparvar, Seepage Estimation

۹- نتیجه‌گیری

روش پیشنهادی حاضر در این تحقیق در کنار در نظر گرفتن جنبه‌های مناسب مسئله، قادر به طراحی بهینه هسته سد بوده و این روش تلاش اضافی برای دستیابی به یک طرح بهینه را کاهش داده و منجر به کاهش صرف زمان لازم برای انجام سعی و خطا می‌شود. در این روش در حین حداقل‌سازی ابعاد و حجم هسته رسی، پایداری سد نیز بررسی گردید. با توجه به تأثیر متقابل بخش‌های مختلف یک سد بر روی یکدیگر، کاهش ابعاد هسته بر روی بخش‌های مختلف سد تأثیر گذاشته و سبب کاهش حجم آن‌ها و هزینه‌های اجرایی شده است که فاکتور مهمی در انتخاب یک طرح و عملیاتی شدن آن هستند. نتایج نشان می‌دهد که مدل رگرسیونی جدید عملکرد موفقی در تخمین مقدار تراوosh، گرادیان هیدرولیکی و ضریب اطمینان پایداری سدها، تحت شرایط تراوosh دائم داشته و مدل بهینه‌سازی موجود قادر به تهیه طرح بهینه هسته رسی سدهای خاکی منطقه‌ای است.

منابع

- [1] M. Komasi, B. Beiranvand, Study of hydraulic failure mechanism in the core of Eyyashan earth dam with the effect of pore water pressure and arching, Journal of Stress Analysis. 4(2), (2020) 55-67.
- [2] A. Asadi, and H. Saba, Evaluation of the effect of modulus of elasticity in clay core on the arching in the crest of earth dams, Computational Engineering and Physical Modeling. 3(3), (2020) 12-20.
- [3] M. Mohammadi, Gh. Barani, and K. Ghaderi, Optimization of the core of earth dams using simulated

- [17] Bandab Consulting Engineering, Development of Water Resource of Hajilar Dam River in 2th Phase Studies. Regional Water Company of East Azarbayan. (2008).
- [18] R.H Mohammad, and E.H. Mohammad, Simplex method to optimization mathematical manipulation. International Journal of Recent Technology and Engineering (IJRTE), (2019).
- [19] A.d Quria , M. Tofigh. Application of Nelder-Mead Simplex Method for Unconfined Seepage Problems, Delft University of Technology. Delft, the Netherland. (2009).
- [20] S.M Jose, R. Galindo, Optimization Design of Earth Dams: Analysis of zoning and heterogeous material in its core, Department of Construction Mining Enterprises and Underground Structures, Saint – Petersburg Mining University, 199106 Saint – Petersburg, Russia. (2020).
- [21] V. Queipo, J. Verd, J. Canelo, S. Pintos, Efficient global optimization for hydraulic fracturing treatment design, Journal of Petroleum Science and Engineering, 45, (2002) 1-2.
- [22] U.S.Army Corps of Engineering, Engineering and Design Stability of Earth and Rock fill Dams". Department the Army, Engineer Manual EM, (2003) 1110-190.
- through Earth Dams, Based on Applied Scientific Research. 2(8), (2012). 7861-7865.
- [12] M. Montaseri, A. Deiminiat, AA. Ghezelsofloo, Optimization of Clay Core Dimension in Earth Dams using Genetic Algorithm, Journal of water and soil science. (3), (2010). 73-86.
- [13] N. Shahkarami, Sh. Mokhtari, Investigation of a modeling – based framework for optimizing the cross- section of cored earth dam, Journal of Civil and Environmental Engineering. (2022).
- [14] M. Jose, G. Ruben, A. Carlos, and K. Liliya, Optimized Design of Earth Dams: Analysis of Zoning and Heterogeneous Material in Its Core, Department of Geotechnical Engineering, Escuela , Universidad de Madrid, 28040 Madrid, Spain . (2020).
- [15] D. Zelin, X. Jianghan, Z. Xuanyi, and W. Jing, Optimization of dam profile based on response surface methodology, International Case Studies in Construction Materials. (2022).
- [16] A. Rezaeinein, , M. Davoodi, and M. Jafari, Determination of optimum cross-section of earth dam using ant colony optimization algorithm. International Institute of Earthquake Engineering and Seismology (IIEES), Tehran, Iran. (2018).

چگونه به این مقاله ارجاع دهیم

M. Zalnezhad, S. Sh. Emamzadeh, Optimization of the Clay Core of Earth Dams with Regression Method, Amirkabir J. Civil Eng., 55(2) (2023) 265-278.

DOI: [10.22060/ceej.2022.21205.7651](https://doi.org/10.22060/ceej.2022.21205.7651)



